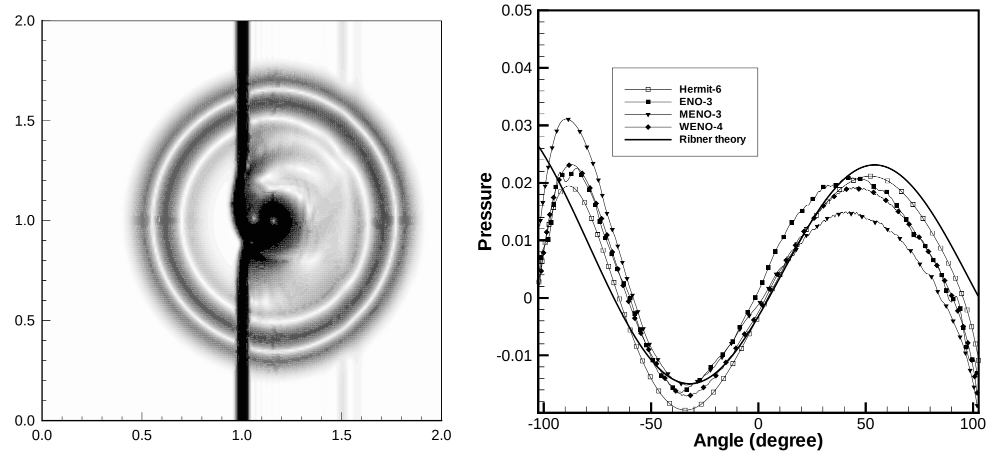

Figure 1: Interaction onde de choc / tourbillon de Taylor : ombroscopie obtenue à un temps sans dimension $t = 0.7$ (à gauche) et distributions circonférencielle de pression obtenues sur un maillage fin (201x201), par différents schémas, comparées à la théorie de Ribner (à droite).

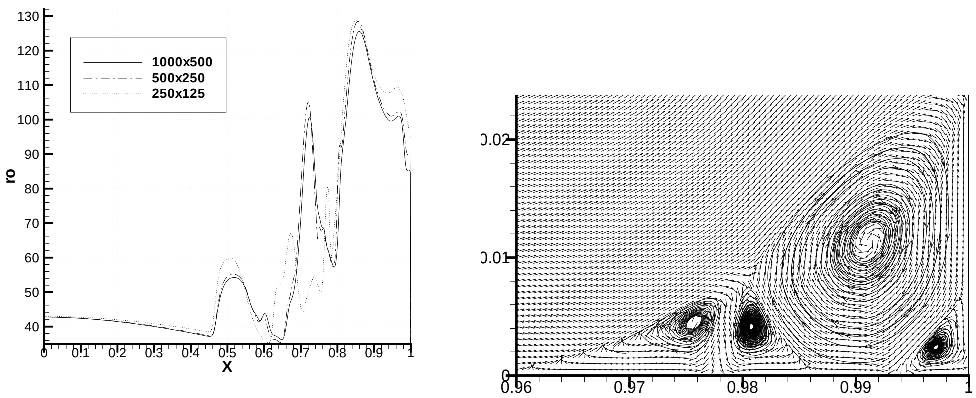

Figure 2: Tube à choc 2D : distributions de masse volumique le long de la paroi basse du tube obtenues à un temps $t = 1$, $Re = 200$ sur différents maillages (à gauche) et champ de vitesse et lignes de courant instantanés dans le coin bas droit du tube pour $Re = 1000$, $t = 1$, obtenus avec un schéma MCO3 sur un maillage (2000x1000), (à droite).

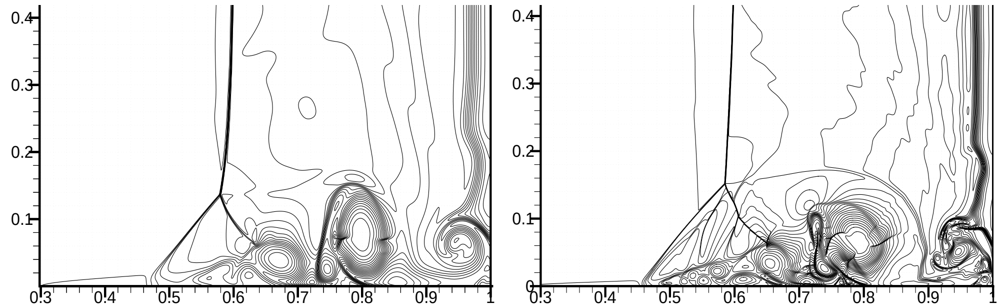

Figure 3: Tube à choc 2D : Isovaleurs de masse volumique obtenues à $t = 1$ pour $Re = 200$ (à gauche) sur un maillage (1000x500) et $Re = 1000$ (à droite) sur un maillage (2000x1000) grâce à un schéma TVD avec un limiteur de Van-Leer.